

# Diszlokáció rendszerek polarizációjának meghatározása



Tüzes Dániel

Anyagfizikai Tanszék

Eötvös Loránd Tudományegyetem

Szakdolgozat

*az MSc fizikus szakához*

2012

## Köszönetnyilvánítás

Szeretném megköszönni mindazoknak a munkáját, akik segítettek abban, hogy a szakdolgozatomat elkészíthessem. Köszönetet mondok mindenekelőtt Groma István témavezetőmnek, aki a legkülönfélebb felmerülő hibák megoldásában saját kezűleg segédkezett. Hálával tartozom Ungár Tamásnak, aki a méréshez szükséges berendezéseket beszerezte, összeállította és kalibrálni azokat, Csiszár Gábornak, aki már a legelején segített a megfelelő rutin megszerzésében az önálló munkavégzéshez, Ispánovity Péternek, aki ötletekkel segítette a mérések tervezését és kiértékelését, továbbá Gubicza Jenőnek, aki a berendezések felmerülő problémáit orvosolta, valamint Ribárik Gábornak, aki útmutatást adott a kiértékelésben.

Külön köszönetet szeretnék mondani a Bécsi Egyetem Funkcionális Anyagok Fizikája (Physik Funktioneller Materialien) Tanszékének, akik Ungár Tamás közvetítésével saját mérőberendezésükkel támogatták a méréseimet.

## Kivonat

Az anyagok mechanikai tulajdonságainak vizsgálata alapvető fontosságú az ipar számára. A kristályos anyagok – mint amilyenek a fémek általában – különösen nagy figyelmet érdemelnek a széleskörű alkalmazhatóságuk miatt, s mert egyszerűbb szerkezetük egy könnyedebb tárgyalásmódot biztosítanak azok mechanikai tulajdonságainak vizsgálatára. Ezen anyagok a szerkezetében lévő hibák azok, melyek alapvetően befolyásolják – jóformán meghatározzák – a keménységet és a ridegséget is. Ezen szakdolgozat célja, hogy az egyik fajta rácshiba – az ún. diszlokáció – tulajdonságait vizsgálja in situ, azaz jelen esetben a mintára adott különböző nagyságú erő függvényében. Ezen vizsgálat motivációja egy, a rácshibák elméletéből adódó gondolat, mely szerint nem csak az elektromosságban megismert töltéseknek lehet anyagszerkezeti analogonját megtalálni, de a polarizációnak is. Az analógia lehetséges létezését számítógépes szimulációk már igazolták, így e szakdolgozat egy alapvetően kísérleti megközelítést alkalmaz a probléma vizsgálata során.

# Tartalomjegyzék

Tartalomjegyzék	iii
Ábrák jegyzéke	v
1. Elmélet	1
1.1. Egykristályok és rácshibáik . . . . .	1
1.1.1. Ponthibák . . . . .	2
1.1.2. Diszlokációk . . . . .	2
1.1.3. Diszlokációk polarizáltsága . . . . .	4
1.2. Kontinuum elmélet . . . . .	5
1.2.1. Diszlokációk generálta belső feszültség . . . . .	8
1.3. Röntgen vonalprofil analízis . . . . .	9
1.3.1. Röntgendiffrakció alapjai . . . . .	9
1.3.2. Rácshibák hatásai a röntgenprofilra . . . . .	9
1.3.2.1. Véletlen diszlokációrendszer okozta vonalkiszé- sedés . . . . .	9
1.3.2.2. Inhomogén diszlokációrendszer okozta vonalkiszé- lesedés . . . . .	9
1.3.3. Az intenzitáseloszlás aszimptotikus viselkedése – a momen- tum módszer . . . . .	10
1.4. Belső feszültség valószínűségeloszlása . . . . .	10
1.4.1. A feszültség-eloszlás függvény analitikus formája . . . . .	10
1.4.2. numerikus eredmények . . . . .	10
1.5. Miért kell lengetni . . . . .	10

<b>2. Mérés előkészítése</b>	<b>11</b>
2.1. A használt egykristályok . . . . .	11
2.1.1. Székely Feri mintái . . . . .	11
2.1.2. Saját minta létrehozása . . . . .	11
2.1.3. Hőkezelés hatása . . . . .	11
2.1.3.1. diszlokációsűrűség csökkenése . . . . .	11
2.1.3.2. ikerszemcsésedés . . . . .	11
2.2. Vákuumcső . . . . .	12
2.3. Detektor . . . . .	12
2.3.1. Energiaablak . . . . .	12
2.3.2. Elhasználódás . . . . .	12
2.4. Minta juszttírozása . . . . .	12
2.5. Röntgenforrás és a monokromátor . . . . .	12
2.6. Összenyomó gép . . . . .	12
<b>3. Mérések kiértékelése</b>	<b>13</b>
3.1. A folyamatok mechanikai jellemzése . . . . .	13
3.1.1. a mintában lévő feszültség meghatározása . . . . .	13
3.1.2. folyáshatár meghatározása . . . . .	13
3.2. röntgenprofilok . . . . .	14
3.2.1. normálás . . . . .	14
3.2.2. elsőrendű momentum, a súlypont . . . . .	14
3.2.3. másodrendű momentum . . . . .	14
3.2.4. negyedrendű momentum . . . . .	14
3.2.5. harmadrendű momentum . . . . .	14
3.3. további kiértékelés . . . . .	14
3.3.1. polarizáció és erő kapcsolata . . . . .	14
3.3.2. maximum és súlypont eltolódása . . . . .	14
<b>4. Következtetések</b>	<b>15</b>
<b>References</b>	<b>16</b>

# Ábrák jegyzéke

1.1. A diszlokációk két fajtája . . . . .	3
1.2. $\tau_{\text{ext}}$ ülső nyírófeszültség hatására az eredetileg, külső feszültség nélkül $\mathbf{d}$ távolságra lévő diszlokációk $\mathbf{d}'$ távolságra kerülnek. A távolság változást $\varepsilon^-(\tau_{\text{ext}}, y_0)$ jelöli az (a) és (c) esetben, valamint $\varepsilon^+(\tau_{\text{ext}}, y_0)$ a (b) és (d) esetben. . . . .	4

# 1. fejezet

## Elmélet

Hogy képet kapjunk a mérés céljairól, az alkalmazott kísérleti módszerről, és a kapott eredmények jelentéséről, elengedhetetlen a témakörben használt mennyiségek és fogalmak bevezetése és áttekintése. Az [1.1](#) fejezetben betekintést kapunk a használt fogalmakról, melyeket az [1.2](#) fejezetben pontosítunk.

### 1.1. Egykristályok és rácshibáik

Szilárdtest-fizikai értelemben véve a kristály fogalma alatt az atomok vagy molekulák térben ismétlődő, periodikus mintázatát értjük. Az ismétlődés lehet a tér egy, kettő vagy három irányában, miszerint léteznek egy-, két- illetve háromdimenziós kristályok. Előfordul, hogy egy anyagdarab teljes egészében kristály, vagyis bármely részének atomjait vagy molekuláit eltolhatjuk úgy, hogy az a minta más részén levő atomokkal vagy molekulákkal fedésbe kerüljön. Az ilyen anyagdarabokat egykristálynak nevezzük. Ezek a természetben ritkák, vagy igen kicsi méretűek. Az olyan anyagdarabot, mely sok, általában igen apró egykristályokat tartalmaz, vagyis csak részenként kristályos – de ezek összessége kiadja az adott anyagdarabot –, polikristálynak nevezzük.

Abszolút nulla hőmérsékleten mind a poli-, mind az egykristályok energetikailag stabil képződmények, de azonos feltételek mellett az egykristály az energetikailag stabilabb, a polikristály csak lokális energiaminimumban van. Az egykristályok kialakulásuk során vagy utána történt behatások nyomán, illetve hőmér-

séklet hatására a kristályrácsban szabálytalanságok, rács hibák lépnek fel, melyek energetikai viszonyainak, eloszlásainak és stabilitásának vizsgálatára statisztikus fizikai eszközöket használhatunk. (Példaképp a 1.1.1 alfejezetben bemutatott pont hibák egyensúlyi koncentrációja véges hőmérsékleten nem 0. Lásd: [4] 150. oldal). A rács hibák gyakran megváltoztatják, befolyásolják, olykor alapvetően meghatározzák a kristály szilárdtest-fizikai tulajdonságait, úgy mint például a keménységet ([4] 7. fejezete, 168. oldal).

Egynemű anyagok esetén kiterjedés alapján négyféle csoportba gyűjtjük a rács hibákat: pont-, vonal-, felületi- és térfogati hibák. Az egykristály részek szélei a polikristályos anyagban pl. felületi hibák. Térfogati hiba lehet pl. egyszerre sok, szomszédos helyen több atom hiánya a rácsból, ún. zárványok. Az első két rács hiba fajtát, vagyis a pont- és vonalhibákat tekintsük át alaposabban!

### 1.1.1. Pont hibák

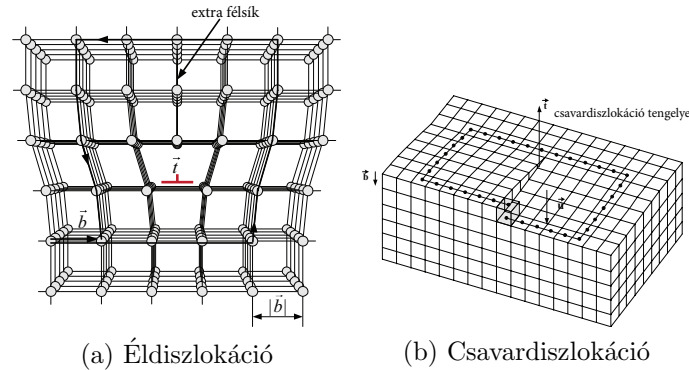
Ebbe a csoportba azok a rács hibák tartoznak, melyet 1-1 atom hiánya vagy többlete okoz. Előbbi vakanciának, utóbbit intersticiális helyzetű atom okozta rács hibának nevezzük. Az atom többlet vagy hiány a rácsban nem csak a jelzett atom helyén okoz eltérést az ideális rácstól, hanem néhány rácsállandónyi távolsággal odébb is, azonban a hatás hamar lecseng. Mivel egy atom okozza egy helyen, szokták nulla-dimenziós hibának nevezni.

Ezek a rács hibák általában kevésbé befolyásolják a minták tulajdonságait, s a továbbiakban nem játszanak számottevő szerepet.

### 1.1.2. Diszlokációk

A diszlokációk az előzővel ellentétben egydimenziós hibának szokták nevezni, mert a szabályos rácstól való eltérés egy vonal mentén történik. Két fajtája az él- és csavardiszlokációk, melyeket az 1.1a és az 1.1b ábrán láthatjuk. Ha a kristály diszlokációt tartalmaz, az maradandó alakváltozást (elcsúszást) hoz létre, így a diszlokációt jellemezni lehet az elcsúszás irányával és nagyságával. Erre szolgál az ábrákon jelölt Burgers-vektor, és annak nagysága. A Burgers-vektort megkaphatjuk a hibát tartalmazó rész körüljárásával. Ehhez egy pontból elindulva egy ideális rács szerint tett kör lépéseit (előre  $n_1$ -et, balra fordulni, előre  $n_2$ -t, balra





1.1. ábra. A diszlokációk két fajtája

fordulni, előre  $n_1$  -et, balra fordulni, előre  $n_2$  -t) megismételjük a hibát tartalmazó rácsban is úgy, hogy az egyes irányok alatt nem a szigorúan vett irányokat, hanem azok a hiba által transzformált új irányok mentén haladunk. A művelet elvégzése után nem jutunk vissza a kiinduló pontba, a különbség vektora a Burgers-vektor, melyet a következő, 1.2 fejezetben pontosabban is definiálunk az 1.8 egyenletnél.

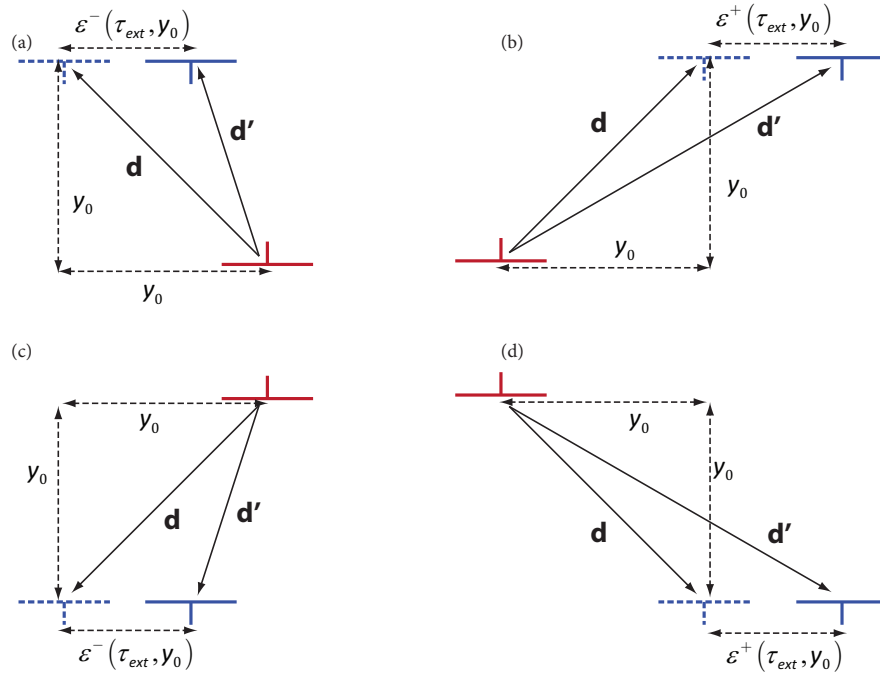
Az éldiszlokációk jelölésére használatos egy T alakú forma, melynek középső szára az extra félsík síkjába esik és párhuzamos a ráccsal, a felső szára pedig merőleges az extra félsík síkjára.

A diszlokációk egy anyagban sokféle háromdimenziós hálózatot alkothatnak, de egyszerű esetben az extra félsíkok mind egymással párhuzamosak. Ekkor definíció szerint egy éldiszlokáció pozitív előjelű, ha „felülről” csúsztatjuk be a félsíkot, és negatív, ha „alulról”. Ekkor a probléma két dimenzióssá egyszerűsíthető, ha a kristály egy, az extra félsíkokra merőleges síkkal vett metszetét vesszük.

Az éldiszlokációt egy ráccsík kristályon belüli véget érése okozza. A csavardiszlokációt a kristály egy tömbjének egy rácssík mentén történő elcsúszása okozza. Képzeljünk el papírlapokat egymás fölé helyezve, majd egy papírlapokat vágjuk be, mindegyiket azonos részénél. A vágás eredményeképp létrejövő jobb oldalát a papírnak rögzítsük a felette levő bal oldalához, a bal oldalát pedig az alatta levő jobb oldalához, és ezt ismételjük meg mindegyik papírlapra. Ezzel modellezhetjük ezt a fajta diszlokációt, ahol papírlapok az egyes rácssíkokat jelölik.

### 1.1.3. Diszlokációk polarizáltsága

A diszlokációk az anyagban feszültségteret keltenek maguk körül, s megmutatható, hogy egy diszlokációra ható erő függ az anyagban lévő feszültségtől, így a diszlokációk egymással kölcsönhatnak. A diszlokációk mozgása túlszabályozott, azaz a rá ható erő nem a gyorsulásával, hanem a sebességével lesz arányos a sűrűség fékező hatása miatt. Mozgásuk a csúszósík mentén megy könnyen végbe, arra merőlegesen csak nagy erők esetén mozdulnak el. Megmutatható ([4] 2.5.5-ik fejezet, 45. oldal), hogy az ellentétes előjelű diszlokációk vonzzák egymást, ha azonos csúszósíkban vannak. Ha különböző csúszósíkban vannak, akkor két diszlokáció addig vonzza egymást, amíg a két diszlokáció és az egyik csúszósíkja által kijelölt szög  $45^\circ$ -ossá nem válik, ekkor csúszósík irányú mozgással a két diszlokáció alkotta rendszer energiája tovább nem csökkenthető.



1.2. ábra.  $\tau_{\text{ext}}$  ülső nyírófeszültség hatására az eredetileg, külső feszültség nélkül  $d$  távolságra lévő diszlokációk  $d'$  távolságra kerülnek. A távolság változást  $\varepsilon^-(\tau_{\text{ext}}, y_0)$  jelöli az (a) és (c) esetben, valamint  $\varepsilon^+(\tau_{\text{ext}}, y_0)$  a (b) és (d) esetben.

Egy diszlokáció feszültségtere lassan, a távolsággal csak fordítottan arányosan ( $1/r$ -esen) cseng le, ám ha két, ellentétes előjelű diszlokáció feszültségterét a

távolságuknál sokkal nagyobb távolságban vizsgáljuk, az a távolság négyzetével fordítottan arányosan ( $1/r^2$ -esen) fog csökkenni [5]. A használt leírás az elektromosságtan multipól-sorfejtésével analóg, ezért az itt használt, két diszlokációból álló rendszer neve diszlokáció-dipól, vagy dipól, a diszlokációk távolságvektora a polarizációs vektor ( $\mathbf{d}$ ). A dipólok 4 féle lehetséges elrendezését az 1.2 ábra mutatja ([7] 8-as ábrájának újrarajzolásával).

Jelen szakdolgozat célja, hogy a diszlokációk polarizációs vektorának feszültségtenzor függését kimutassa kísérleti módszerrel. Az elektromosságtanban gyakran tapasztalható, hogy lineáris összefüggés van a polarizáció és a térerősség között, így feltételezhető, hogy első közelítésben itt hasonló a kapcsolat a két mennyiség között, ilyen értelemben beszélhetünk a diszlokációk szuszceptibilitásáról.

## 1.2. Kontinuum elmélet

Noha a fogalmak csak vázlatosan kerülnek bevezetésre, és a kontinuum elmélet nélkül is megérthető a későbbiekben vizsgált jelenség, de egy igen egyszerű és elegáns formalizmussal pontosabban tárgyalható. A részletes leírást angol nyelven megtalálhatjuk a [3] könyvben.

Érjen egy testet alakváltozás. Ennek deformációját egyértelműen meghatározza egy  $\vec{u}(\vec{r})$  elmozdulásmező. Elegendően kicsi elmozdulás esetén az egyes atomok elmozdulása megadható a teljes deformációs tenzossal:

$$\hat{\varepsilon} = \left[ \frac{d\vec{u}}{d\vec{r}} \right]_{\text{szim}} \quad \varepsilon_{ij}^t = \frac{1}{2} \left( \frac{\partial u_i}{\partial r_j} + \frac{\partial u_j}{\partial r_i} \right).$$

(Néhol az egyenletek indexes írásmódban is feltüntetésre kerülnek). A hagyományos rugalmasságelméletben feltételezzük, hogy a  $\hat{\sigma}$  feszültségtenzor egyértelmű függvénye  $\hat{\varepsilon}$ -nak, melyet infinitezimálisan kis elmozdulások esetén lineáris függvénnyel közelítünk

$$\hat{\sigma} = \hat{L}\hat{\varepsilon}^t \quad \sigma_{ij} = L_{ijkl}\varepsilon_{lk}^t,$$

melyben  $\hat{L}$  a rugalmassági modulus.

Meglehet ugyanakkor, hogy egy deformáció nem jár feltétlen belső feszültség

változással. Ha elvágunk egy testet két részre, majd a két részt eltolva egymáshoz illesztjük, a deformációs csak ott nem lesz nulla, ahol a felvágást, majd az összeillesztést végeztük. Ebből adódóan a belső feszültség nulla lesz, pedig az eredeti kiindulóállapothoz képest – az anyag egyik felében, ha a másikat rögzítettnek tekintjük – mégis történt elmozdulás. A következőkben tárgyalt rugalmasság elméletben (plasticity theory) ezt úgy fogalmazhatjuk meg (a kis elmozdulások limeszében), hogy a deformációnak két része van, az egyik ad járulékot a belső feszültséghez, míg a másik nem. Ezt úgy jelölhetjük, hogy a elmozdulásmező gradiense – melyet teljes disztorzióknak nevezünk általában – e kettő összege, vagyis az ún. plasztikus (vagy a magyarosabb, rugalmas)  $(\hat{\beta}^p)$  és elasztikus (képlékeny)  $(\hat{\beta})$  disztorzió összege:

$$\frac{d\vec{u}}{d\vec{r}} = \hat{\beta}^t = \hat{\beta} + \hat{\beta}^p \quad \frac{\partial u_j}{\partial r_i} = \beta_{ij}^t = \beta_{ij} + \beta_{ij}^p \quad (1.1)$$

A teljes disztorzió ilyen módon való két részre bontása nem csak formaiság. A két rész értékét még definiálnunk kell, és már most jegyezzük meg, hogy a felbontás nem egyértelmű.

Az elasztikus disztrozió az a rész, mely a belső feszültséget adja a deformáció során. Lineáris közelítésben

$$\hat{\sigma} = \hat{L}\hat{\beta} \quad \sigma_{ij} = L_{ijkl}\beta_{lk} \quad (1.2)$$

$\hat{L}$  szimmetriatulajdonságai miatt  $\hat{\sigma}$  csak a szimmetrikus részét határozza meg  $\hat{\beta}$ -nak. Ebből adódóan a feszültség csak az elasztikus deformációt határozza meg, melyet a

$$\varepsilon_{ij} = \frac{1}{2}(\beta_{ij} + \beta_{ji}) \quad (1.3)$$

egyenlet definiál (??? nem áll fenn hasonló a plasztikus részére?). 1.2 egyenletből invertálással, majd a 1.3 egyenletből,  $\hat{L}$  szimmetriatulajdonságait kihasználva kapjuk, hogy

$$\hat{\varepsilon} = \hat{L}^{-1}\hat{\sigma} \quad \varepsilon_{ij} = L_{ijkl}^{-1}\sigma_{lk}, \quad (1.4)$$

melyben  $\hat{L}^{-1}$  az elasztikus rugalmassági modulus inverze.

Definiálnunk kell még a plasztikus disztorziót. A teljes disztorzió definíció

szerint a (teljes) elmozdulásmező gradiense, ami rotáció mentes, vagyis

$$\nabla \times \frac{d\vec{u}}{d\vec{r}} = (\nabla \times \nabla) \vec{u} = 0 \quad \varepsilon_{ikl} \frac{\partial}{\partial r_i} \frac{\partial u_j}{\partial r_l} = 0, \quad (1.5)$$

melyben a háromindexes  $\hat{\varepsilon}$  mennyiség a  $3 \times 3$ -as teljesen antiszimmetrikus tenzor, más néven Levi-Civita szimbólum. A plasztikus disztorzióra ugyanez nem mondható el, így [6] után elnevezhetjük a plasztikus disztorzió rotációját ún.  $\hat{\alpha}$  diszlokáció sűrűségnek:

$$\hat{\alpha} = \nabla \times \hat{\beta}^p \quad \alpha_{ij} = \varepsilon_{ikl} \frac{\partial}{\partial r_k} \beta_{lj}^p \quad (1.6)$$

Ennek szemléletes jelentését a 1.1.2 alfejezetnél láthatjuk majd. 1.1, 1.5, 1.6 egyenletekből könnyen adódik, hogy

$$\hat{\alpha} = -\nabla \times \vec{\beta}^p \quad \alpha_{ij} = -\varepsilon_{ikl} \frac{\partial}{\partial r_k} \beta_{lj}. \quad (1.7)$$

Vegyük a most bevezetett  $\hat{\alpha}$  tenzor felületi integrálját egy tetszőleges  $A$  felületre, ekkor bevezethetjük a  $\vec{b}$  Burgers-vektort, melyet a

$$b_j = \int_A \alpha_{ij} dA_i \quad (1.8)$$

egyenlet definiál. 1.7 egyenlet segítségével a Stokes-tétel szerint

$$b_j = - \int_A \varepsilon_{ikl} \frac{\partial}{\partial r_k} \beta_{lj} dA_i = - \oint_{\partial A} \beta_{ij} ds_i = - \oint_{\partial A} du_i^e$$

A kapott eredmény tehát:

$$b_j = - \oint_{\partial A} du_i^e, \quad (1.9)$$

mely éppen megegyezik azzal, ahogy Burgers eredetileg definiálta a diszlokációt [1], mint az  $\vec{u}^e$  elasztikus (képlékeny) elmozdulásmező szingularitása. (?? magyarul van erre valami konkrét szó?) Az 1.8 egyenletből láthatjuk, hogy az 1.1.2 alfejezetben bemutatott éldiszlokációra az  $\hat{\alpha}$  tenzor:

$$\hat{\alpha} = \vec{l} \circ \vec{b} \delta^{(2)}(\xi) \quad \alpha_{ij} = l_i b_j \delta^{(2)}(\xi), \quad (1.10)$$

melyben  $\vec{l}$  a diszlokáció vonalának érintő irányú vektora,  $\xi$  pedig a diszlokációtól mért távolság.

### 1.2.1. Diszlokációk generálta belső feszültség

A téregyenletek származtatásához vezessük be a teljes disztorzió szimmetrikus részét, mely az 1.1 egyenlet alapján:

$$\left[ \frac{d\vec{u}}{d\vec{r}} \right]_{\text{szim}} = \hat{\varepsilon} + \hat{\varepsilon}^p \quad \frac{1}{2} \left( \frac{\partial u_j}{\partial r_i} + \frac{\partial u_i}{\partial r_j} \right) = \varepsilon_{ij} + \varepsilon_{ij}^p, \quad (1.11)$$

melyben  $\hat{\varepsilon}$  és  $\hat{\varepsilon}^p$  az elsztaikus és plasztikus disztorzió szimmetrikus része. Felhasználva a  $\text{rot grad} = 0$  matematikai operátorazonosságot,

$$\nabla \times \left[ \frac{d\vec{u}}{d\vec{r}} \right]_{\text{szim}} \times \nabla = 0 \quad - \varepsilon_{ikm} \varepsilon_{jln} \frac{\partial}{\partial r_k} \frac{\partial}{\partial r_l} \left( \frac{\partial u_j}{\partial r_i} + \frac{\partial u_i}{\partial r_j} \right) = 0 \quad (1.12)$$

Az itt előforduló operátor a témakörben gyakran előfordul, így praktikus definiálni az inc ("inkompatibilitás") operátort:

$$\text{inc} = \nabla \times \bullet \times \nabla \quad \text{inc}_{ij} = -\varepsilon_{ikm} \varepsilon_{njl} \frac{\partial}{\partial r_k} \frac{\partial}{\partial r_l}, \quad (1.13)$$

így az 1.12 egyenlet a definiált operátorral tömör alakban írható:

$$\text{inc} \left[ \frac{d\vec{u}}{d\vec{r}} \right]_{\text{szim}} = 0 \quad \text{inc}_{ij} \left( \frac{\partial u_j}{\partial r_i} + \frac{\partial u_i}{\partial r_j} \right) = 0. \quad (1.14)$$

A későbbiek miatt praktikus bevezetni az  $\hat{\eta}$  szimmetrikus tenzormezőt:

$$\hat{\eta} = \text{inc} \hat{\varepsilon} \quad \eta_{ij} = -\varepsilon_{ikm} \varepsilon_{njl} \frac{\partial}{\partial r_k} \frac{\partial}{\partial r_l} \varepsilon_{mn} \quad (1.15)$$

Az 1.6, 1.11, 1.14 és 1.15 egyenletekből hosszas, de egyértelmű módon adódik, hogy

$$\hat{\eta} = [\hat{\alpha} \times \nabla]_{\text{szim}} \quad \eta_{ij} = \frac{1}{2} \left( \varepsilon_{njl} \frac{\partial}{\partial r_l} \alpha_{im} + \varepsilon_{nil} \frac{\partial}{\partial r_l} \alpha_{jm} \right). \quad (1.16)$$

Az 1.4.1.15 egyenletbe helyettesítésével megkapjuk, hogy a diszlokációk okozta feszültségnek milyen egyenletnek kell eleget tenniük:

$$\text{inc} \left( \hat{L}^{-1} \hat{\sigma} \right) = \hat{\eta} \quad \eta_{ij} = -\varepsilon_{ikm} \varepsilon_{njl} \frac{\partial}{\partial r_k} \frac{\partial}{\partial r_l} L_{mnop}^{-1} \sigma_{op}. \quad (1.17)$$

Mivel tetszőleges  $\vec{f}$  vektormezőre

$$\text{inc} \left[ \frac{d\vec{f}}{d\vec{r}} \right]_{\text{szim}} = 0,$$

1.16 egyenlet még nem határozza meg egyértelműen  $\hat{\sigma}$ -t, ahhoz fel kell használni a

$$\text{div} \hat{\sigma} = 0 \quad \frac{\partial}{\partial r_r \sigma_{ij}} = 0$$

egyensúlyi feltételt.

## 1.3. Röntgen vonalprofil analízis

5 sor bevezető, hogy mi ez.

### 1.3.1. Röntgendiffrakció alapjai

Egykristály röntgendiffrakció. Miller index, Bragg-egyenlet.

### 1.3.2. Rácshibák hatásai a röntgenprofilra

A ponthibákat nem, de a diszlokációkat érdemes vizsgálni.

#### 1.3.2.1. Véletlen diszlokációrendszer okozta vonalkiszélesedés

A szemcsemérettel divergál. JÓ LENNE elolvasni a 3 cikket, ami ide tartozik, de sajnos nem tudom, mert sehol nem érhető el.

#### 1.3.2.2. Inhomogén diszlokációrendszer okozta vonalkiszélesedés

Jól ide lehet írni a [2] cikk első részét.

### **1.3.3. Az intenzitáseloszlás aszimptotikus viselkedése – a momentum módszer**

Ide meg a későbbi részét.

## **1.4. Belső feszültség valószínűségeloszlása**

A belső feszültség valószínűségeloszlás külsőleg terhelt 2D-s dszlokáció rendszereken.

### **1.4.1. A feszültség-eloszlás függvény analitikus formája**

Nem tudom, meddig érdemes zúzni ezt a részt.

### **1.4.2. numerikus eredmények**

Ide lehetne tenni, amit Péter kiszámolt.

## **1.5. Miért kell lengetni**

A rocking-curve rejtelsei.



## 2. fejezet

# Mérés előkészítése

Mérési összeállítás leírása, használt eszközök.

### 2.1. A használt egykristályok

#### 2.1.1. Székely Feri mintái

#### 2.1.2. Saját minta létrehozása

A hosszas szenvedés vázolója, hogy mi kellett ahhoz, hogy létre lehessen hozni a darabokat. Orientálni kellett, majd kivágni lapocskákat, majd berajzolni, kivágni, ellenőrizni.

#### 2.1.3. Hőkezelés hatása

##### 2.1.3.1. diszlokációsűrűség csökkenése

Laue-felvételen megmutatom, hogy nem csökkent annyira a diszlokáció-sűrűség

##### 2.1.3.2. ikerszemcsésedés

Ellenben ikerszemcsé-határok – vagy mi a mianeve – jöttek létre: diszlokációfalak. Ezek pont ekkora effektust hoznak létre, mint amit a képen látunk.

## 2.2. Vákuumcső

Vákuumcsővel és anélkül készült méréseket tehetnék be. Profilokat is megmuto-  
gatnám, legfőképp a 4-ed rendűt. Következtetés: kell a vákuumcső.

## 2.3. Detektor

Típusa, tulajdonságai, konstrukciós hibái. Kaptunk a bécsiektől.A detektor ki-  
menetének bemutatása.

### 2.3.1. Energiaablak

Sokszor mérés kellett, h végül nyitott ablakkal végezzük a méréseket. NAGYON  
sok.

### 2.3.2. Elhasználódás

A megfigyelt hiba.

## 2.4. Minta juszttírozása

Hogyan lehet középre betenni a mintát. Mennyire lehet középre tenni, a hiba  
mivel jár (nem lehet emiatt lengetni.)

## 2.5. Röntgenforrás és a monokromátor

A monokromatikusságot ellenőrizni is lehet, és kell is. A generátor típusa, telje-  
sítménye.

## 2.6. Összenyomó gép

Mit lehet vele csinálni, mekkora tartományban, mekkora pontossággal. Az adatok  
formája.

## **3. fejezet**

### **Mérések kiértékelése**

#### **3.1. A folyamatok mechanikai jellemzése**

##### **3.1.1. a mintában lévő feszültség meghatározása**

Relaxálódott a minta, meg a keresztmetszet is változott.

##### **3.1.2. folyáshatár meghatározása**

Jól lehetett látni, a húzósaknál kifejezetten.

## **3.2. röntgenprofilok**

### **3.2.1. normálás**

### **3.2.2. elsőrendű momentum, a súlypont**

### **3.2.3. másodrendű momentum**

### **3.2.4. negyedrendű momentum**

### **3.2.5. harmadrendű momentum**

## **3.3. további kiértékelés**

### **3.3.1. polarizáció és erő kapcsolata**

### **3.3.2. maximum és súlypont eltolódása**

## 4. fejezet

# Következtetések

Mikre jutottam, mennyire lettek jók az eredmények, mik okozták a hibát, hogyan lehet azokon javítani, várhatóan milyen eredményt hozna a javítás.

# References

- [1] Johannes Martinus Burgers, 1939. 7
- [2] I. Groma. X-ray line broadening due to an inhomogeneous dislocation distribution. *Phys. Rev. B*, 57:7535–7542, Apr 1998. doi: 10.1103/PhysRevB.57.7535. URL <http://link.aps.org/doi/10.1103/PhysRevB.57.7535>. 9
- [3] István Groma. Statistical physical approach to describe the collective properties of dislocations. In Reinhard Pippan, Peter Gumbsch, Friedrich Pfeiffer, Franz G. Rammerstorfer, Jean Salençon, Bernhard Schrefler, and Paolo Serafini, editors, *Multiscale Modelling of Plasticity and Fracture by Means of Dislocation Mechanics*, volume 522 of *CISM Courses and Lectures*, pages 213–270. Springer Vienna, 2010. ISBN 978-3-7091-0283-1. URL [http://dx.doi.org/10.1007/978-3-7091-0283-1\\_5](http://dx.doi.org/10.1007/978-3-7091-0283-1_5). 5
- [4] Lehel Zsoldos István Kovács. *Dislocations and plastic deformation*. Pergamon Press Oxford, ; New York, :, 1st edition, 1973. ISBN 0080170625. 2, 4
- [5] F. Kroupa. Long-range elastic field of semi-infinite dislocation dipole and of dislocation jog. *physica status solidi (b)*, 9(1):27–32, 1965. ISSN 1521-3951. doi: 10.1002/pssb.19650090103. URL <http://dx.doi.org/10.1002/pssb.19650090103>. 5
- [6] J.F Nye. Some geometrical relations in dislocated crystals. *Acta Metallurgica*, 1(2):153 – 162, 1953. ISSN 0001-6160. doi: 10.1016/0001-6160(53)90054-6. URL <http://www.sciencedirect.com/science/article/pii/0001616053900546>. 7

- 
- [7] István Groma Péter Dusán Ispánovity. The probability distribution of internal stresses in externally loaded 2d dislocation systems. *Journal of Statistical Mechanics: Theory and Experiment*, 2008(12):P12009, 2008. URL <http://stacks.iop.org/1742-5468/2008/i=12/a=P12009>. 5